

# کاربرد روش المان مرزی در حل سه بعدی مسائل دینامیکی محیط‌های متخلخل اشباع

امیر رضا خویی و امیر مسعود کنیا

دانشکده مهندسی عمران، دانشگاه ولز - سوانسی، انگلستان

مؤسسه ژئوتکنیک، اسلو، نروژ

چکیده - در مقاله حاضر برای تحلیل دینامیکی ارتعاش دائم یک محیط متخلخل اشباع از فرمولبندی المان مرزی سه بعدی استفاده شده است. معادله‌های حاکم بر محیط از تبدیل فوریه بر معادله‌های دینامیکی محیط‌های متخلخل الاستیک بیو (معادله‌های بنیادی، دارسی، ممنتوم و پیوستگی) و سپس جانشینی فشار حفره‌ای مابعد به جای جایی مابعد به دست می‌آیند. معادله‌های انتگرالی محیط متخلخل اشباع با کاربرد روش باقیمانده وزنی بر معادله‌های حاکم بر محیط حاصل گردیده است که با انتگرال گیری جزء به جزء این معادله‌ها، دو دسته معادله‌های انتگرالی، یکی روی کل میدان و دیگری روی مرز سیستم حاصل می‌شوند. حل‌های اساسی وابسته به این فرمولبندی که بر اساس جایه‌جایی توده جامد و فشار حفره‌ای مابعد با بارهای نقطه‌ای در توده جامد و یک تزریق نقطه‌ای در مابعد تعریف شده‌اند با استفاده از روش کوپرادز [1] تعیین می‌گردند. بر مبنای این حل‌های اساسی می‌توان معادله‌های انتگرالی روی میدان را حذف نمود و معادله‌های انتگرالی که فقط مرزهای سیستم را شامل شوند، به دست آورد. در نهایت حل این معادله‌های انتگرال مرزی با استفاده از تکنیک عددی روش المان مرزی صورت می‌گیرد. در ادامه برای نمایش مدل المان مرزی ارائه شده، ارتعاش حالت - دائم یک بی‌صلب مربع مستطیلی بر روی نیم فضای متخلخل اشباع به دست آمده و نتایج حاصل از تأثیر نفوذ پذیری محیط بر تغییرات تابع نرمی دینامیکی بی در تغییرات فرکانسی مختلف بررسی گردیده است.

## Application of the Boundary Element Method to Three-Dimensional Dynamic Solution of Fluid-Saturated Porous Media Problems

A.R. Khoe and A.M. Kaynia

Civil Engineering Department, University of Wales Swansea, Singleton Park, Swansea SA28PP, U.K.

Norwegian Geotechnical Institute, P.O. Box 3930, Ulleval Hageby, N-0806 Oslo, Norway

**ABSTRACT** - In this paper, an advanced implementation of the direct boundary element method applicable to steady-state dynamic analysis involving three-dimensional fluid-saturated porous media is presented. The coupled differential equations in terms of solid displacement and pore-fluid pressure are derived from the field equations by the application of the Fourier transform. The boundary integral formulation is obtained by the weighted residual method and the associated fundamental solutions, which define the solid displacement field and the pore pressure due to point forces in the solid and point sources in the medium, are obtained by the method developed by Kupradze. As a numerical example of the boundary element model, the dynamic

## فهرست علامت

پارامتر مواد بیو	$\alpha$	پارامتر جرم ( $\rho_f/n$ )	m	فرکانس بدون بعد	a <sub>0</sub>
وزن حجمی مخلوط جامد و مایع	$\gamma$	تخلخل محیط	n	اپراتور اجوبت $L_{ij}$	A(or A <sub>ij</sub> )
تابع دلتای دیراک	$\delta(x - y)$	فشار حفره‌ای مایع	p	ضریب قابلیت مقاومت محیط	b
کروونیکر دلتا	$\delta_{ij}$	سرعت تزریق مایع بداخل سیستم	q	$(\gamma/k)$	
لابلاسین	$\Delta$	پارامتر مواد بیو (معرف اثر فشار	Q		
تائسور تغییر شکل نسبی	$\varepsilon$ (or $\varepsilon_{ij}$ )	پذیری مرکب دانه‌های جامد و مایع)	r	بردار نیرو	B(or B <sub>i</sub> )
ثابت زهکشی لامه برای توده جامد	$\lambda$	فاصله بین نقطه اثربار	s	تائسور ضربی شکل	C(or C <sub>ij</sub> )
شکل مختلط ثابت $\lambda^*$	$\lambda^*$	(یادبی تزریقی) تancockه‌ای که تغییر	u	مدل یانگ	E
ثابت زهکشی لامه برای توده جامد	$\mu$	مکان‌ها (سافتار منفذی)	U (or $u_i$ )	تابع نرمی افقی دینامیکی	C <sub>HH</sub>
شکل مختلط ثابت $\mu^*$	$\mu^*$	اندازه گیری می‌شود.	U (or $U_i$ )	تابع نرمی چرخشی دینامیکی	C <sub>MM</sub>
ضریب پواسون	$\nu$	مرز سیستم	v	تابع نرمی قائم دینامیکی	C <sub>VV</sub>
ضریب اسهالاک	$\kappa$	جایجا به توده جامد	vs	نیروهای بدنه	f
چگالی مخلوط جامد و مایع	$\rho$	بردار حاوی جایجا به های توده	w (or $w_i$ )	تابع گرین	G (or G <sub>ij</sub> )
چگالی مایع	$\rho_f$	جامد و فشار منفذی	y	ضربی نفوذ پذیری محیط	k
چگالی توده جامد	$\rho_s$	میدان سیستم	x	مدول حجمی زهکشی شده توده	K <sub>d</sub>
تائسور تنش	$\sigma$ (or $\sigma_{ij}$ )	سرعت موج برشی		جامد	K <sub>f</sub>
بردار تنش	$\bar{\sigma}$ (or $\bar{\sigma}_a$ )	جایجا متوسط مایع نسبت به		مدول حجمی دانه‌های جامد	K <sub>s</sub>
کمیت نظری تنش ناشی از توابع	$\tau^*$ (or $\tau^*_{ij}$ )	جامد		ماتریس اپراتورهای دیفرانسیلی	L (or L <sub>ij</sub> )
گرین		نقاط میدان			
فرکانس	$\omega$	نقاط منفرد تابع انگرالی			

response of three-dimensional rigid square foundations bonded to the surface of a water-saturated half-space is numerically obtained. The results presented in this paper display the variations with frequency of the real and imaginary parts of the compliance functions of rectangular foundations and the effect of soil permeability on these functions.

## ۱- مقدمه

بررسی اثر متقابل خاک - پی در مطالعه عکس العمل دینامیکی پی‌های صلب واقع بر محیط‌های خاکی اشباع که از عوامل مهم در طراحی پی‌های ماشین است، اهمیت موضوع را در بررسی حالت دینامیکی اش ایجاد می‌نماید. معادله‌های حاکم بر محیط‌های خاکی اشباع که در حالت شباهستاتیکی آن به عنوان پدیده نفوذ شناخته می‌شود موضوع تحقیقات وسیعی در گذشته بوده است. اما تحقیق در جنبه‌های دینامیکی این محیط‌ها که به علت وجود دو فاز جامد و مایع در بردارنده اثرات اینرسی ناشی از شتاب توده جرم خاک و شتاب جرم مایع است و دارای مؤلفه‌های جابه جایی مستقل از یکدیگرند، از سال ۱۹۵۶ توسط بیو آغاز گردید. تحقیقات بیو [۲ و ۳] نشان داد که تحت یک اغتشاش دینامیکی در محیط متخلخل اشباع، یک موج برشی و دو موج طولی (فشاری) ایجاد می‌گردد. موج برشی و اولین موج طولی تقریباً مشابه امواج نظیر در محیط‌های تکفاز است. موج

بررسی محیط‌های خاکی اشباع که شامل دو فاز جامد و مایع داخلی حفره‌ها هستند کاربردهای متعددی دارند که نه تنها در علم مکانیک خاک بلکه در سایر علوم همچون ژئوفیزیک، زلزله شناسی و مهندسی ساختمان و مکانیک نیز اهمیت دارند. اثرات انتشار امواج در این محیط‌ها نظیر اثر بارهای ارتعاشی همچون زلزله و بررسی پدیده‌های روانگرایی در محیط‌های خاکی اشباع که به علت وجود منافذ پر از آب در بین دانه‌های خاک بوده، باعث می‌گردد تا در اثر یک ارتعاش دینامیکی و ایجاد تراکم در محیط خاکی، فشار آب داخل منافذ افزایش یافته و سبب حرکت آب به سمت بالا گردد که به صورت فوران و جوشش گل و ماسه در سطح زمین پدیدار گشته و در نتیجه کاهش مقاومت زمین به مقدار زیادی را سبب می‌شود. رفتار چنین پدیده‌هایی در ارتباط با مسائلی نظیر: سدهای خاکی واقع بر محیط خاکی اشباع، مسائل اثر متقابل خاک و سازه و یا

هالپرن و کریستیانو [۲۲] توابع گرین ناشی از نیروهای متمرکز هارمونیکی حالت - دائم که بر فازهای جامد و مایع در سطح نیم - فضای به کار بوده می شود را به دست آورده و سپس با استفاده از آنها توابع عمودی دیسک صلب واقع بر محیط نیم فضای متخلخل را به صورت عددی ارزیابی نمودند. اخیراً، نتایج حاصل از یک پی‌نواری بر روی محیط نیم - صفحه متخلخل اشباع توسط کی نیا و خوبی [۲۰] با استفاده از روش المان مرزی ارائه گردیده است.

هدف از این مقاله توسعه مدل المان مرزی دو بعدی محیط‌های متخلخل اشباع (خوبی و کی نیا [۲۳]) به یک مدل سه بعدی با کاربرد تکنیک باقیمانده وزنی و تعیین معادله‌های انتگرال مرزی و سپس حل عددی آن با روش المان مرزی در تعیین توابع نرمی پی‌صلب واقع بر محیط خاکی اشباع بوده که مشابه با روش ساو و توساکا [۲۴] در حل مسائل ترمومالاستیستیک است.

## ۲- معادله‌های میدان

محیط‌های متخلخل نظری خاک، سنگ و بتون، مرکب از دو بخش اندکه شامل توده‌های جامد و فضای بین آنها می‌شود که توسط آب، هوایاترکیب آنها پر شده است. در صورتی که در فضای حفره‌های آنها هوای اشدم‌محیط را خشک و اگر از آب پر شده باشد محیط را اشباع و در صورتی که بخشی از آن توسط آب و بقیه باهو الشغال شده باشد محیط را نیمه اشباع می‌نمایند. برای مسئله مورد نظر، محیط متخلخل در فضای کاملاً اشباع در نظر گرفته شده و در حالتهای حدی آن با محیط کاملاً خشک مقایسه گردیده است.

معادله‌های دینامیکی محیط‌های متخلخل الاستیک اشباع که توسط بیو [۲ و ۳] به دست آمده و توسط زینکویچ [۱۵ و ۱۶] و بوتین [۱۳] توسعه داده شده است رابرای محیط‌های بافاز جامد خطی تحت تغییر شکل‌های کوچک براساس معادله‌های اساسی حاکم بر میدان شامل: معادله‌بنیادی، معادله ممتد مربوط به ترکیب جامد و مایع، معادله عمومی دارسی و معادله پیوستگی به صورت زیر بیان می‌کنیم:

$$\sigma_{ij,j} + f_i = \rho \ddot{u}_i + \rho_f \ddot{w}_i \quad (1)$$

$$\dot{w}_{k,k} + \alpha \dot{u}_{k,k} + \frac{1}{Q} \dot{p} = q \quad (2)$$

فضاری دوم که متناظر با حرکات خارج از فاز اجزای جامد و مایع است خاصیت میرایی شدیدی دارد به طوری که در فاصله کوتاهی از نقطه ایجادش مستهلك شده و از بین می‌رود. اغلب تئوریهای جدید مکانیک محیط‌های پیوسته همچون تئوری مخلوط (تروزدل و توپین [۴] و باون [۵]) نتایج یکسانی را از معادله‌های با خواص مشابه ارائه می‌دهند، (به گارگ [۶]، پروست [۷]، باون [۸] و اوریالیت [۹] مراجعه شود). معادله‌های ارائه شده توسط بیو بر اساس جایه‌جاییهای جامد و مایع (مدل W - u) تعریف شده اند، برای تعیین حل اساسی این معادله‌ها محققین همچون بوریچ و وارگاس [۱۰] با استفاده از این معادله‌ها، میدانهای تغییر مکان در فازهای جامد و مایع محیط اشباع را در اثر نیروی متمرکز در یک محیط نامتناهی در فازهای جامد و مایع (به طور جداگانه) به دست آوردن. علی‌رغم توفیق نسبی که در این زمینه به دست آمد، استفاده از نتایج موجود برای حل مسائل عملی چندان ساده نبود، زیرا شرایط مرزی مربوط به فاز مایع در سطح زمین به صورت تعریف مقدار صفر برای فشار آب است. لذا، محققین سعی کردند معادله‌های بیو را با استفاده از تبدیل میدان بر حسب جایه‌جاییهای توده جامد و فشار مایع منفذی (مدل p - u) بیان نمایند (سیمون، زینکویچ و پل [۱۱]). کاربرد این فرمولبندی در تعیین حل‌های اساسی محیط‌های متخلخل دینامیکی توسط بانت [۱۲] و بوتین [۱۳] و کی نیا [۱۴] مورد استفاده قرار گرفته است. حل مسائل مقادیر مرزی محیط‌های متخلخل اشباع به روش المان محدود توسط زینکویچ و شیومی [۱۵] و زینکویچ [۱۶] و بوگاشا و تازولاس [۱۷] و هیرایی [۱۸] ارائه گردید. اخیراً، چنج و همکاران [۱۹] و کی نیا و خوبی [۲۰] با استفاده از یک فرمولبندی انتگرال مرزی، ارتعاشات حالت - دائم محیط متخلخل اشباع را به دست آورده که براساس آن، تعدادی مسائل دینامیک خاک را حل نموده‌اند. اهمیت بررسی آب منفذی در مسائل اثر متقابل خاک - سازه، تحقیقات متعددی را در مطالعه رفتار دینامیکی پی‌صلب بر روی محیط متخلخل اشباع به دنبال داشته که در برخی از آنها مطالعات بدون تغییر در شکل اولیه معادله‌های بیو براساس مدل W - u صورت گرفته است. گاز تاس و پتراکیس [۲۱] یک محیط نیم - فضای متخلخل الاستیک را تحت حرکات موجی و ارتعاشی ناشی از یک پی‌نواری صلب نفوذپذیر به صورت عددی ارزیابی نمودند.

سپس حذف  $w_i$  (جا به جایی نسبی مایع به جامد) بین این معادله‌ها، کوپل معادله‌های دیفرانسیل محیط‌های متخلخل اشیاع به صورت زیر به دست می‌آید:

$$(\lambda + \mu) \bar{u}_{j,ij} + \mu \bar{u}_{i,ji} - \alpha_1 \bar{p}_{,i} + \omega^2 \rho_{,i} \bar{u}_i + \bar{f}_i = 0 \quad (6)$$

$$\xi \bar{p}_{,ii} - \frac{i\omega}{Q} \bar{p} - i\omega \alpha_1 \bar{u}_{i,j} + \bar{q} = 0 \quad (7)$$

که در آن  $\xi = (\frac{\gamma}{k} + i\omega m)^{-1}$  و  $\rho_1 = \rho - i\omega \rho_f \xi$  ،  $\xi = (\frac{\gamma}{k} + i\omega m)^{-1}$  و  $\alpha_1 = \alpha - i\omega \rho_f$  و کمیتهای  $\bar{u}_i$  و  $\bar{p}$  معرف تبدیل یافته جایبه جاییها و فشار حفره‌ای بوده و به صورت زیر تعریف می‌شوند:

$$\bar{u}_i(x, \omega) = \int_{-\infty}^{+\infty} e^{-i\omega t} u_i(x, t) dt \quad (8)$$

$$\bar{p}(x, \omega) = \int_{-\infty}^{+\infty} e^{-i\omega t} p(x, t) dt$$

جالب توجه است که معادله‌های دیفرانسیل محیط‌های متخلخل اشیاع دارای شکل کلی مشابه معادله‌های عمومی ترمولاستیستی است که توسط ساو و توساکا به دست آمده است [۲۴].

کوپل معادله‌های دیفرانسیل محیط‌های متخلخل اشیاع (۶) و (۷) را در شکل ماتریسی آن می‌توان به صورت زیر نمایش داد:

$$L_{ij} \bar{U}_j = \bar{B}_i \quad (9)$$

که در آن  $[z]_{ij}$  ماتریس اپراتورهای دیفرانسیلی،  $\{\bar{B}_i\}$  بردار نیرو و  $\{\bar{U}_j\}$  بردار جایبه جاییها محیط‌سه بعدی بوده و به صورت زیر تعریف می‌شوند:

$$[L_{ij}] = \begin{pmatrix} \mu \Delta + (\lambda + \mu) D_1^T + \omega^2 \rho_1 & (\lambda + \mu) D_1 D_2 & (\lambda + \mu) D_1 D_3 & -\alpha_1 D_1 \\ (\lambda + \mu) D_2 D_1 & \mu \Delta + (\lambda + \mu) D_2^T + \omega^2 \rho_1 & (\lambda + \mu) D_2 D_3 & -\alpha_1 D_2 \\ (\lambda + \mu) D_3 D_1 & (\lambda + \mu) D_3 D_2 & \mu \Delta + (\lambda + \mu) D_3^T + \omega^2 \rho_1 & -\alpha_1 D_3 \\ -im\alpha_1 D_1 & -im\alpha_1 D_2 & -im\alpha_1 D_3 & \xi \Delta - \frac{i\omega}{Q} \end{pmatrix} \quad (10)$$

$$\sigma_{ij} = \lambda \epsilon_{kk} \delta_{ij} + 2\mu \epsilon_{ij} - \alpha p \delta_{ij} \quad (3)$$

$$p_{,i} = -b \dot{w}_i - \rho_f \ddot{u}_i - m \ddot{w}_i \quad (4)$$

که در آن  $p$  فشار حفره‌ای مایع ،  $u$  جایبه جاییها تردد جامد و  $w$  جایبه جایی متوسط مایع نسبت به جامد است، پارامترهای  $\lambda$  و  $\mu$  ثابت‌های زهکشی شده لامه برای تردد جامدند. همچنین در معادله‌های بالا  $\rho$  چگالی مایع و  $\rho_f$  چگالی مخلوط جامد و مایع است که ارتباط آن با  $\rho_s$  چگالی تردد جامد به صورت زیر  $\rho = \rho_s + n(\rho_f - n)$  است و در آن  $n$  معرف تخلخل محیط است.  $m$  در معادله‌های بالا پارامتر جرم و معادل  $n/\rho_f$  است. ضرایب  $\alpha$  و  $Q$  پارامترهای مواد بیو بوده و معرف اثر فشار پذیری مرکب دانه‌های جامد و مایع اند و به صورت زیر تعریف می‌شوند:

$$\alpha = 1 - \frac{K_d}{K_s} \quad (5)$$

$$\frac{1}{Q} = \frac{n}{K_f} + \frac{\alpha - n}{K_s}$$

که در آن  $K_d$ ،  $K_s$  و  $K_f$  به ترتیب مدول حجمی مایع، دانه‌های جامد و مدول حجمی زهکشی شده تردد جامد است.  $b$  ضریب قابلیت مقاومت محیط بوده و معادل  $k/\gamma$  است که در آن  $\gamma$  وزن حجمی مخلوط جامد و مایع و  $k$  ضریب نفوذ پذیری محیط اند. بالاخره  $\sigma_{ij}$  و  $u_{j,i}$  به ترتیب معرف نیروهای بدنه و سرعت و تغییر شکل نسبی و  $f$  و  $Q$  به ترتیب معرف نیروهای بدنه و سرعت تزریق مایع به داخل سیستم است.

به منظور تعیین سیستم معادلاتی بر حسب جایبه جاییها  $u$  و فشار حفره‌ای  $p$  (مدل  $p - u$ )، از تبدیل فوریه بر معادله‌های (۱) تا (۴) استفاده نموده، تحت یک ارتعاش هارمونیکی با فرکانس  $\omega$  و

در معادله (۱۴) ماتریس دیفرانسیلی  $[A_{ij}]$  که اصطلاحاً به پراتور اجونیت  $[L_{ij}]$  [معادله (۱۰)] موسوم است، به صورت زیر تعریف می‌شود:

$$[A_{ij}] = \begin{pmatrix} L_{11} & L_{12} & L_{13} & -L_{41} \\ L_{21} & L_{22} & L_{23} & -L_{42} \\ L_{31} & L_{32} & L_{33} & -L_{43} \\ -L_{14} & -L_{24} & -L_{34} & L_{44} \end{pmatrix} \quad (17)$$

برای تعیین تانسور وزنی  $G_{jk}^*$  که با جایگزینی در معادله (۱۴)، عبارت انتگرالی  $(A_{ij} G_{jk}^*) \bar{U}_i dv(x)$  را به عبارتی مستقل از انتگرال روی میدان  $v$  تبدیل نموده و معادله انتگرالی که فقط در مرز سیستم فرموله شده حاصل نماید، با فرض منبعی در نقطه  $c$  که در داخل ناحیه  $v$  متتمرکز شده باشد، می‌توان نوشت:

$$A_{ij} G_{jk}^* + \delta_{ik} \delta(x - y) = 0 \quad (18)$$

که  $(x - y) \delta$  تابع دلتای دیراک است. با کاربرد روش باقیمانده وزنی بر معادله بالا می‌توان به جای اولین عبارت معادله (۱۴)،  $(y - C_{kj}) \bar{U}_k$  را قرار داد [۲۳]. که  $C_{kj}$  تانسور ضربی شکل است و برای نقاط واقع در داخل ناحیه  $v$   $C_{kj} = \delta_{kj}$  و در نقاط واقع بر مرز سیستم برای سطوح هموار  $C_{kj} = 1/2 \delta_{kj}$  است. نقاط  $x$  و  $y$  نشان دهنده نقاط میدان و نقاط منفرد در توابع انتگرالی است. در نتیجه، معادله (۱۴) با چشمپوشی از اثرات نیروهای بدنی به صورت زیر به دست می‌آید:

$$\begin{aligned} C_{kj} \bar{U}_k + \int_s \bar{U}_\alpha \tau_{\alpha j}^* ds + \int_s \xi \bar{p} G_{\gamma j, n}^* ds \\ = \int_s \bar{\sigma}_\alpha G_{\alpha j}^* ds + \int_s \xi \bar{p}_{, n} G_{\gamma j}^* ds \end{aligned} \quad (19)$$

معادله (۱۹) را می‌توان به شکل ماتریسی آن به صورت زیر نشان داد:

$$C \bar{U} + \int_s P^* \bar{U} ds = \int_s U^* \bar{P} ds \quad (20)$$

که ماتریسهای  $U$  و  $P$  و بردارهای  $\bar{U}$  و  $\bar{P}$  در معادله (۲۰) عبارت‌اند از:

$$\{\bar{U}_i\} = \{\bar{u}_1, \bar{u}_2, \bar{u}_3, \bar{p}\}^T \quad (11)$$

$$\{\bar{B}_i\} = \{-\bar{f}_1, -\bar{f}_2, -\bar{f}_3, -\bar{q}\}^T \quad (12)$$

که در آن  $D_i = \partial/\partial x_i$  و  $\Delta$  معروف لاپلاسین است.

### ۳- معادله‌های انتگرال مرزی

برای تعیین معادله‌های انتگرالی که فقط در مرزهای سیستم قابل تعریف باشد از تکنیک باقیمانده وزنی استفاده نموده و معادله دیفرانسیل (۹) را به یک معادله انتگرالی در میدان  $v$  تبدیل می‌نماییم. با تعریف تانسور وزنی  $G_{ik}^*$  عبارت باقیمانده وزنی معادله (۹) عبارت است از:

$$\int_v (L_{ij} \bar{U}_j - \bar{B}_i) G_{ik}^* dv = 0 \quad (13)$$

با جاگذاری معادله‌های (۱۰) - (۱۲) در معادله انتگرالی (۱۳) و سپس با دو بار انتگرال گیری جزء به جزء بر روی میدان  $v$  از این عبارت انتگرالی، خواهیم داشت:

$$\begin{aligned} \int_v (A_{ij} G_{jk}^*) \bar{U}_i dv(x) + \int_s (\bar{\sigma}_{\alpha} G_{\alpha j}^* - \bar{u}_{\alpha} \tau_{\alpha j}^*) ds(x) \\ + \int_s (\xi \bar{p}_{, n} G_{\gamma j}^* - \xi \bar{p} G_{\gamma j, n}^*) ds(x) - \int_v \bar{B}_i G_{ij}^* dv(x) = 0 \end{aligned} \quad (14)$$

$$(i, j, k = 1, 2, 3, 4, \alpha = 1, 2, 3)$$

که در آن (۱۰) - (۱۲) در  $\bar{U}_\alpha = \bar{u}_\alpha$  و  $\bar{B}_i = \bar{f}_i$  بوده و  $v$  مشخص کننده میدان و مرز سیستم در عبارات انتگرالی بالاست. بردار تنفس  $\bar{\sigma}_\alpha$  و کمیت نظیر آن  $\bar{n}_\alpha$  در عبارت بالا به صورت زیر تعریف می‌شوند:

$$\begin{aligned} \bar{\sigma}_\alpha &= \bar{\sigma}_{\alpha\beta} n_\beta \\ &= \{(\lambda \bar{u}_{\kappa, \kappa} - \alpha \bar{p}) \delta_{\alpha\beta} + \mu (\bar{u}_{\alpha, \beta} + \bar{u}_{\beta, \alpha})\} n_\beta \end{aligned} \quad (15)$$

$$\begin{aligned} \bar{\tau}_{\alpha j}^* &= \{(\lambda G_{\kappa j, \kappa}^* + i\omega \alpha_1 G_{\gamma j}^*) \delta_{\alpha\beta} \\ &\quad + \mu (G_{\alpha j, \beta}^* + G_{\beta j, \alpha}^*)\} n_\beta \end{aligned} \quad (16)$$

که در آن  $\omega/\mu = \rho$  و  $\lambda_1 + \lambda_2 = -\lambda_{12}$  ریشه‌های معادله‌های زیرند:

$$\begin{cases} \lambda_1 + \lambda_2 = k_1 + \frac{i\omega}{\xi} \left( \frac{1}{Q} + \frac{\alpha_1^2}{\lambda + 2\mu} \right) \\ \lambda_1 \lambda_2 = \frac{i\omega}{Q\xi} k_1 \end{cases} \quad (26)$$

که (۲۶) نهایتاً ماتریس توابع گرین برای حالت سه بعدی به صورت زیر به دست می‌آید [۱۴]:

$$G_{\alpha\beta}^* = \sum_{L=1}^3 \{\psi_L(r) \delta_{\alpha\beta} - \chi_L(r) r_{,\alpha} r_{,\beta}\}$$

$$G_{\alpha 1}^* = \sum_{L=1}^3 i\omega r_{,\alpha} \xi_L(r)$$

$$G_{\alpha 2}^* = \sum_{L=1}^3 r_{,\beta} \xi_L(r) \quad (27)$$

$$G_{\alpha 3}^* = \sum_{L=1}^3 \varphi_L(r) \quad \alpha, \beta = 1, 2, 3$$

که در آن  $r$  فاصله بین نقطه اثربار (یادبی تزیقی) (تancoطه‌ای) است که تغییر مکانها (یافشار منفذی) اندازه گیری می‌شود  $[r = |x - y|]$  و توابع  $\psi_L(r)$ ,  $\chi_L(r)$ ,  $\varphi_L(r)$  در معادله (۲۷) عبارت اند از:

$$\begin{aligned} \psi_L(r) &= [\frac{\delta_{1L}}{4\pi\mu} - \eta_L(\frac{\lambda_L}{r} + \frac{1}{r^2})] \frac{1}{r} e^{-\lambda_L r} \\ \chi_L(r) &= -\eta_L(\lambda_L + \frac{3\lambda_L}{r} + \frac{3}{r^2}) \frac{1}{r} e^{-\lambda_L r} \\ \xi_L(r) &= \phi_L(\lambda_L + \frac{1}{r}) \frac{1}{r} e^{-\lambda_L r} \\ \varphi_L(r) &= \gamma_L \frac{1}{r} e^{-\lambda_L r} \end{aligned} \quad (28)$$

ضرایب  $\eta_L$ ,  $\phi_L$  و  $\gamma_L$  در معادله (۲۸) عبارت اند از:

$$\begin{aligned} \eta_L &= \frac{(-1)^L (1 - \frac{i\omega}{Q\xi} \lambda_L^{-1}) (\delta_{1L} + \delta_{2L})}{4\pi(\lambda + 2\mu)(\lambda_2 - \lambda_1)} + \frac{\delta_{2L}}{4\pi\omega^2\rho_1} \\ \phi_L &= \alpha_1 \frac{(-1)^L (\delta_{1L} + \delta_{2L})}{4\pi\xi(\lambda + 2\mu)(\lambda_2 - \lambda_1)} \\ \gamma_L &= \frac{(-1)^L (\lambda_L^2 - k_1^2) (\delta_{1L} + \delta_{2L})}{4\pi\xi (\lambda_2 - \lambda_1)} \end{aligned} \quad (29)$$

$$U^* = \begin{pmatrix} G_{11}^* & G_{12}^* & G_{13}^* & \xi G_{11}^* \\ G_{12}^* & G_{22}^* & G_{23}^* & \xi G_{22}^* \\ G_{13}^* & G_{23}^* & G_{33}^* & \xi G_{33}^* \\ G_{11}^* & G_{12}^* & G_{13}^* & \xi G_{11}^* \end{pmatrix}, \quad \bar{U} = \begin{pmatrix} \bar{u}_1 \\ \bar{u}_2 \\ \bar{u}_3 \\ \bar{p} \end{pmatrix} \quad (21)$$

$$P^* = \begin{pmatrix} \tau_{11}^* & \tau_{12}^* & \tau_{13}^* & \xi G_{11,n}^* \\ \tau_{12}^* & \tau_{22}^* & \tau_{23}^* & \xi G_{22,n}^* \\ \tau_{13}^* & \tau_{23}^* & \tau_{33}^* & \xi G_{33,n}^* \\ \tau_{11}^* & \tau_{12}^* & \tau_{13}^* & \xi G_{11,n}^* \end{pmatrix}, \quad \bar{P} = \begin{pmatrix} \bar{\sigma}_1 \\ \bar{\sigma}_2 \\ \bar{\sigma}_3 \\ \bar{p}_n \end{pmatrix} \quad (22)$$

برای حل معادله انتگرال مرزی (۲۰) و تعیین مقادیر مجھول جابه جاییها و فشار منفذی در بردار  $\bar{U}$  و مقادیر بردارهای تنش و دبی خروجی در بردار  $\bar{P}$ ، با محاسبه توابع  $\tau_{ij}^*$  و  $G_{ij}^*$ ، ماتریسهای  $U^*$  و  $P^*$  را تشکیل می‌دهیم و چون حل تحلیلی معادله (۲۰) ناممکن است با استفاده از روش عددی همچون روش المان مرزی، معادله انتگرال مرزی (۲۰) را حل می‌کنیم.

#### ۴- حل اساسی

برای تعیین حل اساسی (توابع گرین)  $G_{ij}^*$  که با استفاده از آن توابع تنش نظیر  $\tau_{ij}^*$  تعیین گردیده و بتوان ماتریسهای  $U^*$  و  $P^*$  را تشکیل داد، از معادله (۱۸) استفاده می‌کنیم. با نمایش تانسور وزنی  $G_{ij}^*$  به صورت زیر:

$$G_{ij}^* = B_{ij} \Phi^* \quad (23)$$

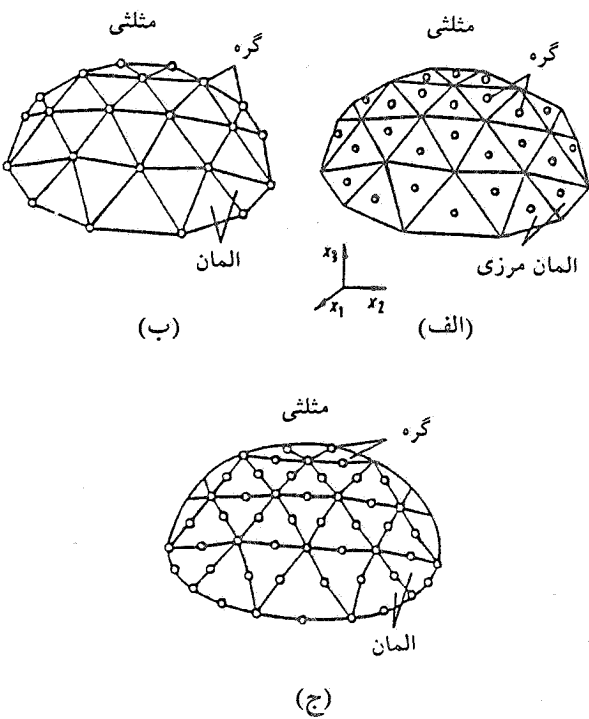
که در آن  $B_{ij}$  اپراتور هم‌عامل ترانهاده  $\delta_{ij}$  و  $\Phi^*$  یکتابع اسکالر (عددی) است. با جاگذاری معادله (۲۳) در معادله (۱۸) خواهیم داشت:

$$A\Phi^* + \delta(x - y) = 0 \quad (24)$$

که:

$$A = \det(A_{ij}) \quad (25)$$

$$= \xi\mu^2(\lambda + 2\mu)(\Delta - \lambda_1^2)(\Delta - \lambda_2^2)(\Delta - \lambda_3^2)$$



شکل ۱- المانبندی یک جسم سه بعدی: (الف) ثابت ، (ب) خطی ،

(ج) درجه دوم

می کند، بارهای اعمالی در این بخشها از مرز جسم اعمال می شود. به علت طبیعت بار نقطه‌ای مورد استفاده در تعیین توابع گرین، شکل حلها منفرد بوده و نیاز به تدبیر خاصی برای انتگرال گیری حلها اساسی منفرد در محدوده های شامل نقاط منفرد است. تحلیل سه بعدی محیطهای متخلخل اشباع از حل معادله های انتگرال مرزی مربوطه [معادله (۲۰)] و تعیین مقادیر مرزی که شامل تغییر مکانها، فشار منفذی، و بردارهای تنش و دبی خروجی است، صورت می گیرد. چون حل تحلیلی معادله انتگرالی (۲۰) در مسائل محیطهای سه بعدی با مرزهای نامنظم ناممکن است، لذا مرز را به المانهای صفحه ای از نوع مثلثی یا مستطیلی تقسیم بندی می کنیم. هر یک از این المانها می تواند به صورت ثابت، خطی، درجه دوم و یارسته های بالاتر مورد استفاده قرار گیرد. شکل (۱- الف) جسمی را که توسط المانهای ثابت مجزا سازی شده، نمایش می دهد. برای این المانها مقادیر مجهول در مرکز المان بوده و برای کل المان این مقدار ثابت است در شکل (۱- ب) المان خطی که مقادیر مجهول به صورت یکتابع خطی روی آن تغییر می کند

با جاگذاری توابع گرین  $G_{ij}^*$  از معادله (۲۷) در معادله (۱۶)، توابع تنش نظری  $\tau_{ij}^*$  به صورت زیر به دست می آیند:

$$\begin{aligned}\tau_{\alpha\beta}^* &= \sum_{L=1}^3 \left\{ \lambda r_{,\beta} n_\alpha \left( \frac{\partial \psi}{\partial r} - \frac{\partial \chi}{\partial r} - \frac{1}{r} \chi \right) + i \omega \alpha_{,r} r_{,\beta} n_\alpha \chi \right. \\ &\quad \left. - 2\mu \frac{\partial \chi}{\partial r} \frac{\partial r}{\partial n} r_{,\alpha} r_{,\beta} + \mu \left( \frac{\partial r}{\partial n} \delta_{\alpha\beta} + r_{,\alpha} n_\beta \right) \left( \frac{\partial \psi}{\partial r} - \frac{1}{r} \chi \right) \right. \\ &\quad \left. - \frac{1}{r} \chi \mu (n_{\alpha} r_{,\beta} - \frac{1}{n} \frac{\partial r}{\partial n} r_{,\alpha} r_{,\beta}) \right\} \\ \tau_{\alpha\varphi}^* &= \sum_{L=1}^3 \left\{ \lambda n_\alpha i \omega \left( \frac{\partial \zeta}{\partial r} + \frac{1}{r} \zeta \right) + i \omega \alpha_{,r} n_\alpha \phi \right. \\ &\quad \left. + 2\mu i \omega n_\alpha \frac{1}{r} \zeta + 2\mu i \omega r_{,\alpha} \frac{\partial r}{\partial n} \left( \frac{\partial \zeta}{\partial r} - \frac{1}{r} \zeta \right) \right\} \\ \tau_{\varphi\beta}^* &= \sum_{L=1}^3 \left\{ n_\beta \frac{1}{r} \zeta + r_{,\beta} \frac{\partial r}{\partial n} \left( \frac{\partial \zeta}{\partial r} - \frac{1}{r} \zeta \right) \right\} \\ \tau_{\varphi\varphi}^* &= G_{\varphi\varphi,n}^* = \sum_{L=1}^3 \left\{ \frac{\partial r}{\partial n} \frac{\partial \varphi}{\partial r} \right\}\end{aligned}\quad (۳۰)$$

که در آن  $r_{,i} n_i = r_i n_i = \frac{\partial r}{\partial n} (\partial x_i / \partial n) = (x_i / r) n_i$  است.

## ۵- روش المانهای مرزی

از جمله روشهای عددی که کاربرد فراوانی در مسائل مکانیک محیطهای پیوسته همچون تحلیلهای استاتیکی و یا مسائل دینامیکی دارد و در حل معادله های انتگرال مرزی مناسب است، روش المان مرزی است. کاربرد این روش عددی در حل معادله های انتگرال مرزی که خود یک فرمولبندی دقیق مسئله است باعث می شود تا تقریبها فقط در حل عددی معادله های انتگرالی وارد گردد. اهمیت روش المان مرزی نسبت به سایر روشهای عددی در کاهش ابعاد مسئله است که این به دلیل استفاده از المانبندی تنها در مرزهای ناحیه مورد نظر است. این روش به خصوص در حل مسائل محیطهای نامتناهی و یا نیمه نامتناهی مناسب است، زیرا توابع گرین مورد استفاده در فرمولبندی روش المان مرزی به صورت خودکار شرایط تشعشعی نواحی دور - میدان را ارضاء می کند. توابع گرین یا حل اساسی برای بار نقطه‌ای در یک جسم نامتناهی، از اعمال نیرو با مقدار و جهت معلوم به نقطه‌ای از جسم که از همه سو به نامتناهی ممتد است همراه با حل تحلیلی معادله های دیفرانسیل حاکم برای تنش و تغییر مکانهای جسم، به دست می آید. در مورد اجزای فیزیکی که این جسم نامتناهی را به قسمتهایی محدود

با مرتب کردن دستگاه معادله (۳۴) به صورتی که کلیه مجهولها به سمت چپ معادله انتقال یابند، در این صورت خواهیم داشت:

$$[A] \{X\} = \{B\} \quad (35)$$

که در آن  $[A]$  ماتریس ضرایب و  $\{B\}$  برداری است که مقادیر آن بر اساس شرایط مرزی معلوم در سیستم به دست آمده و  $\{X\}$  بردار مجهولها شامل  $\bar{u}_i^N$ ,  $\bar{\sigma}_i^N$ ,  $\bar{p}_{i,n}^N$  است. با حل دستگاه معادله‌های (۳۵) به یکی از روش‌های متداول نظری روشن گوس، مجهولهای هر گره به دست می‌آیند.

#### ۶- رفتار انتگرالهای منفرد

برای تشکیل دستگاه معادله‌های (۳۵) که با حل آن مقادیر مجهولهای گره‌های مرزی به دست آیند، نیاز به محاسبه انتگرالهای معادله (۳۲) در هر گره و سپس ادغام آنها در کلیه گره‌های مرزی است. در مقاله حاضر با استفاده از المانهای ثابت مثلثی تغییرات زیر بردارهای  $\bar{U}_j$  و  $\bar{P}_j$  در سطح هر المان مقداری ثابت گرفته شده و بر اساس آن انتگرالهای  $\int_{S_j} U^* ds$  و  $\int_{S_j} P^* ds$  محاسبه می‌گردد. محاسبه هر یک از جمله‌های زیر ماتریسهای  $U^*$  و  $P^*$  با انتگرال گیری از توابع  $G_{ij}$  و  $\tau_{ij}^*$  هنگامی که در گره مرزی آثار داشته و بر روی المانهای مرزی آن حرکت می‌کنیم، صورت می‌گیرد.

برای حالتی که گره  $j$  المان مرزی  $J$  را شامل نشود ( $j \neq i$ )، محاسبه انتگرالها با تبدیل سطح المان  $ds$  از سیستم مختصات کارتزین به سیستم مختصات اصلی المان مثلثی (شکل ۲) و با استفاده از روش‌های انتگرال گیری عددی نظری روشن هامر [۲۵] محاسبه می‌گردد. در این حالت ضرایب غیر قطری ماتریس  $H$  عبارت‌اند از:

$$\begin{aligned} \int_{S_j} \tau_{ij}^*(r) ds &= |J| \int_0^1 \int_0^{1-\eta_2} \tau_{ij}^*(\eta_1, \eta_2, \eta_3) d\eta_1 d\eta_2 \\ &= |J| \sum_{m=1}^k \tau_{ij}^*(\eta_1^m, \eta_2^m, \eta_3^m) \omega_m \end{aligned} \quad (36)$$

که در آن  $|J|$  کوئین  $|J|$  معادل دو برابر سطح مثلث است. به طور مشابه برای انتگرالهای  $ds$  ( $r$ )  $\int_{S_j} G_{ij}^* ds$  نیز به همین ترتیب عمل می‌شود.

نشان داده شده است. بالاخره در شکل (۱-ج) ضمن آنکه شکل هندسی المان دارای تغییرات درجه دوم است، تغییرات متغیرها (نظری جایه جایی، فشار منفذی، تنش و دبی خروجی) بر روی المان نیز تابعی درجه دوم است.

با تقسیم مرز به  $n$  المان صفحه‌ای، معادله انتگرال مرزی (۲۰) به صورت مجموع انتگرالهای المان مرزی به شکل زیر نوشته می‌شود:

$$C_i \bar{U}_i + \sum_{j=1}^n \int_{S_j} P^* \bar{U} ds = \sum_{j=1}^n \int_{S_j} U^* \bar{P} ds \quad (31)$$

که  $S_j$  سطح المان  $J$  است. مفهوم معادله (۳۱) آن است که در هر مرحله با قرارگرفتن بر یک گره مرزی (گره  $i$ ) و حرکت بر روی سایر المانها، معادله (۳۱) را تشکیل داد. در این صورت برای کلیه گره‌ها،  $n$  دسته از این معادله‌ها به دست می‌آیند. در این مقاله برای حل عددی معادله بالا از المان ثابت مثلثی ( $\frac{1}{2} \bar{U}_i + \sum_{j=1}^n \left( \int_{S_j} P^* ds \right) \bar{U}_j = \sum_{j=1}^n \left( \int_{S_j} U^* ds \right) \bar{P}_j$ ) استفاده گردیده است. در این صورت مقادیر بردارهای  $\bar{U}$  و  $\bar{P}$  در طول المان ثابت بوده و می‌توان نوشت:

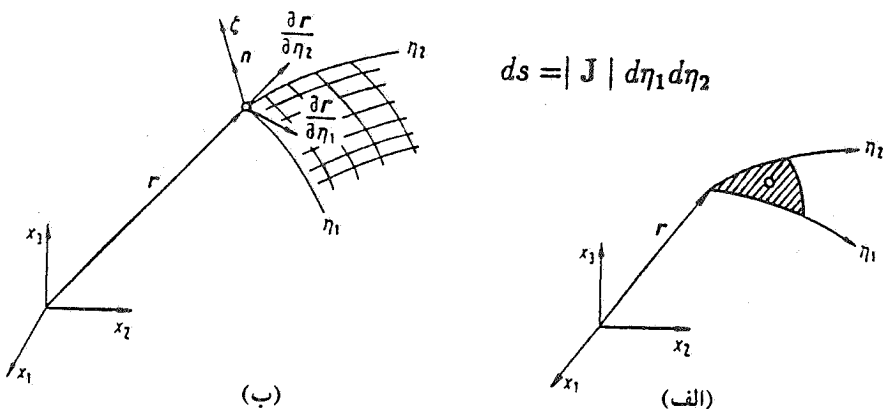
$$\frac{1}{2} \bar{U}_i + \sum_{j=1}^n \left( \int_{S_j} P^* ds \right) \bar{U}_j = \sum_{j=1}^n \left( \int_{S_j} U^* ds \right) \bar{P}_j \quad (32)$$

معادله (۳۲) نمایشی از شکل مجزا شده بر روی مرز است که ارتباط بین گره  $i$  که توابع گرین در آن استفاده شده را با تمام المانهای  $j$  (که شامل  $j = i$  نیز هست) بر روی مرز بقرار می‌کند. عبارتهای  $\int_{S_j} P^* ds$  و  $\int_{S_j} U^* ds$  ارتباط گره  $i$  را با المان  $J$  توسط عمل انتگرال گیری نشان می‌دهد. برای ارزیابی عددی این انتگرالها می‌توان معادله‌های (۲۷) و (۳۰) را جایگزین نمود. نهایتاً کاربرد معادله (۳۲) برای  $n$  گره می‌گردد، که در هر گره چهار مجهول (شامل تغییر مکان در سه راستا و فشار منفذی در بردار  $\bar{P}$ ) وجود دارد با حل دستگاه معادله‌ای از مرتبه  $4N$  به شکل زیر به دست می‌آید:

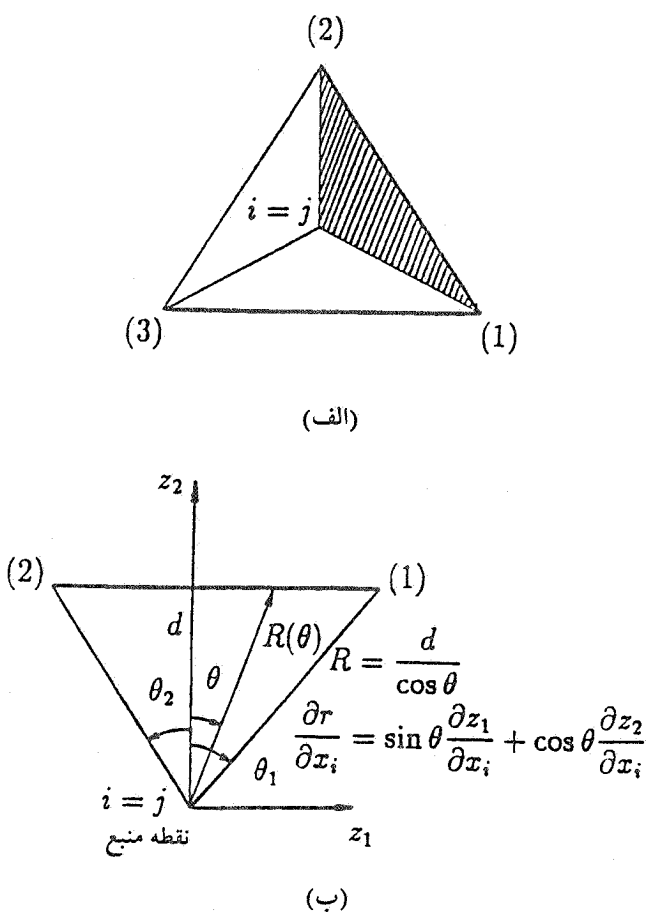
$$H_u \bar{u} + H_v \bar{v} = G_s \bar{\sigma} + G_p \bar{p}_{,n} \quad (33)$$

یا

$$H \bar{U} = G \bar{P} \quad (34)$$



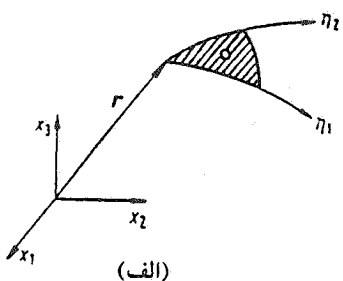
شکل ۲ - (الف) المان جسم سه بعدی ، (ب) دستگاه مختصات



شکل ۳ - مختصات محلی در المان مثلثی: (الف) المان مثلثی ثابت،  
ب) زیرالمان

$$\theta = \frac{\rho}{\gamma}(\theta_1 + \theta_2) + \frac{1}{\gamma}(\theta_1 - \theta_2) \quad (39)$$

$$ds = |\mathbf{J}| d\eta_1 d\eta_2$$



در حالت  $\mathbf{j} = \mathbf{i}$  یعنی وقتی گره  $\mathbf{i}$  المان  $\mathbf{j}$  را در برگیرد، انتگرالها دارای رفتار خاصی بوده زیرا حلها اساسی شامل نقاط متفاوتند. رفتار جملات حلها اساسی در نقاط متفاوت برای حالت سه بعدی به صورت زیرند:

$$\begin{aligned} G_{\alpha\beta}^* &\propto \frac{1}{r} & G_{\beta\beta}^* &= \text{غیرمنفرد} \\ G_{\alpha\beta}^* &= \text{غیرمنفرد} & G_{\beta\beta}^* &\propto \frac{1}{r} \\ \tau_{\alpha\beta}^* &\propto \frac{1}{r^2} & \tau_{\beta\beta}^* &= \text{غیرمنفرد} \\ \tau_{\alpha\beta}^* &\propto \frac{1}{r} & \tau_{\beta\beta}^* &\propto \frac{1}{r^2} \quad (\alpha, \beta = 1, 2, 3) \end{aligned} \quad (37)$$

همان گونه که دیده می شود  $G_{\alpha\beta}^*$  و  $G_{\beta\beta}^*$  از ماتریس  $G_{ij}^*$  غیرمنفرد بوده و نوع نقاط متفاوت  $G_{\alpha\beta}^*$  و  $\tau_{\alpha\beta}^*$  از نوع نقاط متفاوت دالاستو-استاتیک و در مورد  $G_{\beta\beta}^*$  و  $\tau_{\beta\beta}^*$  از نوع مسئله نفوذ است. برای مسائل سه بعدی، هر المان مطابق شکل (۳-الف) به سه زیرالمان تقسیم می شود و در هر زیرالمان، انتگرالها به طریق تحلیلی با اختبار  $r$  در دستگاه مختصات قطبی محلی با استفاده از شکل (۳-ب) به صورت زیر محاسبه می گردند:

$$\begin{aligned} [\mathbf{H}_{\alpha\beta}]_{ii} &= \sum_{e=1}^3 \int_{s_e} \tau_{\beta\alpha}^* ds \\ &= \sum_{e=1}^3 \int_{-\theta_e}^{\theta_e} \int_0^{R(\theta)} \tau_{\beta\alpha}^*(r) r dr d\theta \end{aligned} \quad (38)$$

بنابراین:

با تعریف تغییر متغیر  $\theta$  به صورت زیر:

$$[H_{\alpha\beta}]_{ii} = \sum_{e=1}^3 \int_{-\theta_1}^{\theta_1} F_{\beta\alpha}(R(\theta)) d\theta \\ = \sum_{e=1}^3 \int_{-1}^{+1} F_{\beta\alpha}(R(\rho)) \frac{1}{2} (\theta_1 + \theta_2) d\rho \quad (40)$$

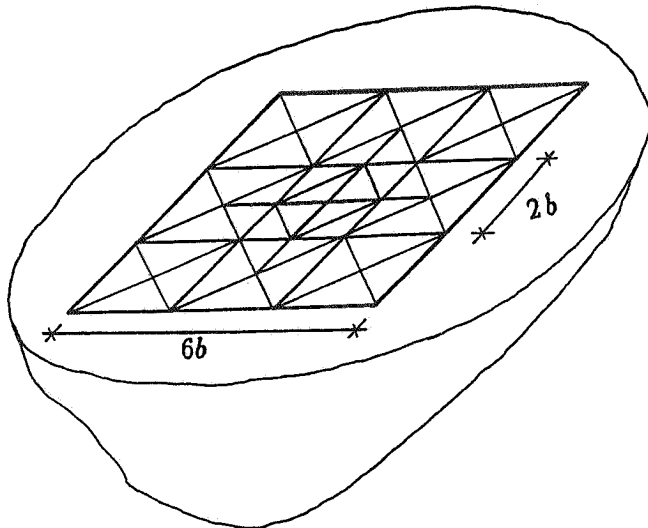
ارزیابی انتگرال یک متغیره (۴۰) را به روشهای استاندارد عددی نظیر روش گوس می‌توان انجام داد. در این صورت می‌توان نوشت:

$$[H_{\alpha\beta}]_{ii} = \sum_{e=1}^3 \left\{ \sum_{m=1}^k F_{\beta\alpha}(R(\rho_m)) \frac{1}{2} (\theta_1 + \theta_2) \omega_m \right\} \quad (41)$$

که در آن:

$$F_{\beta\alpha}(R(\theta_m)) = \int_0^{R(\theta_m)} \tau_{\beta\alpha}^*(r) r dr \quad (42)$$

انتگرالهای  $[G_{\alpha\beta}]_{ii}$  نیز به طریق مشابه قابل محاسبه‌اند. نهایتاً طبق معادله (۴۲) نتایج انتگرالهای منفرد  $[G_{\alpha\beta}]_{ii}$  و  $[H_{\alpha\beta}]_{ii}$  برای حالت سه‌بعدی منجر به انتگرالهایی از نوع  $\exp(-hr)/r^\alpha$  ( $\alpha = 0, 1, 2, 3$ ) می‌شود که مقادیر آنها به صورت عددی محاسبه می‌گردد.



شکل ۴ - مدل المان مرزی یک پی صلب مربعی واقع بر نیم - فضای خاکی اشباع

محیط خاکی اشباع واقع در زیر پی عبارت اند از [۱۴]:

$$\lambda = ۰/۲۷۴ \times ۱۰^7 \text{ kN/m}^2, \mu = ۰/۵۸۵ \times ۱۰^7 \text{ kN/m}^2$$

$$Q = ۰/۹۹۷ \times ۱۰^7 \text{ kN/m}^2, \alpha = ۰/۸۳, n = ۰/۱۹۵$$

$$\rho_f = ۱۰۰۰, \rho = ۲۲۷۰ \quad \& m = ۵۱۳۰ \text{ Kg/m}^3$$

خواص الاستیک خاک زهکشی شده ( $\lambda$  و  $\mu$ ) براساس مقادیر پارامترهای بالا مقادیر اندازه گیری شده توسط بیو و جاگی (۱۹۸۷) بوده که با پارامترهای ارائه شده در معادله‌های (۱) تا (۴) منطبق است. المان‌بندی در روش المان مرزی در محلهایی که مرزبین دو محیط‌دارای خواص فیزیکی متفاوت است، صورت می‌گیرد. برای پی مورد نظر واقع بر محیط نیم - فضا، المان‌بندی در محل تماس خاک - پی و بخشی از میدان - آزادسطح زمین مجاور پی مطابق شکل (۴) خواهد بود که بر اساس مطالعات همگرایی صورت گرفته، کل پهنهای لازم برای المان‌بندی برابر  $6b$  بوده که در آن  $b$  نصف پهنهای پی مربعی است. برای تعیین تابع نرمی قائم دینامیکی پی صلب مربعی، تغییر مکان ناشی از اعمال بار واحد دینامیکی بر روی دیسک صفحه‌ای صلب بدون جرم واقع بر محیط نیم - فضا را در درجه آزادی قائم آن به صورت تابعی از فرکانس به دست می‌آوریم. با

## ۷- نتایج عددی

به عنوان نتایجی از کاربردهای فرمولبندی انتگرال مرزی در محیط‌های مخلخل اشباع سه بعدی که با استفاده از روش المان مرزی به صورت عددی ارائه گردید، توابع نرمی دینامیکی پی صلب مربعی واقع بر محیط نیم فضای خاکی اشباع تحت اثر ارتعاشات قائم، افقی و چرخشی بررسی گردیده است، (شکل ۴).

اهمیت روش المان مرزی در مدل کردن محیط‌های نیم - فضا به این علت است که اثر استهلاک تشعشعی به طور خودکار در مسئله وارد می‌شود و اثر استهلاک هیسترتیک خطی در فرمولبندی روش المان مرزی را می‌توان به صورت ساده با تبدیل ثابت‌های لامه به شکل مختلط زیر در نظر گرفت:

$$\lambda^* = \lambda(1 + 2\zeta_i) \quad (43)$$

$$\mu^* = \mu(1 + 2\zeta_i)$$

که در آن  $\zeta_i$  نسبت استهلاک خواص مواد است و برای محیط‌های خاکی برابر  $۰/۰۵$  در نظر گرفته شده است. مشخصات خواص

محیط متخلخل اشباع در شرایط حدی استفاده گردیده است، منطبق بر نتایج حاصل از سایر محققین با پارامترهای الاستیسیته مشابه است [۲۷].

به طور مشابه توابع نرمی دینامیکی افقی و چرخشی پی صلب واقع بر محیط خاکی اشباع را می‌توان بر حسب تابعی از فرکانس رسم نمود. با تعریف توابع نرمی افقی و چرخشی به صورت بی بعد زیر:

$$C_{HH}(a_0) = \mu b \frac{\Delta_1}{P_1} \quad (47)$$

$$C_{MM}(a_0) = \mu b^2 \frac{\alpha_2}{M_2}$$

این توابع بر اساس دو جزء حقیقی و موهمی به صورت تغییراتی از فرکانس بدون بعد قابل بیان‌اند. در شکل‌های (۶ - الف) و (۶ - ب) توابع نرمی افقی پی صلب و (۷ - الف) و (۷ - ب) توابع نرمی چرخشی پی صلب برای نفوذ‌پذیری‌های مختلف و همچنین مقایسه محیط با نفوذ‌پذیری کم و محیط تکفاز زهکشی نشده با پارامترهای معادل نشان داده شده است. همچنین در شکل‌های (۶ - ج) و (۷ - ج) نیز نتایج حاصل از محیط اشباع با نفوذ‌پذیری بالا و خشک تکفاز در نرمی افقی و چرخشی پی صلب مقایسه گردیده است.

#### ۸- نتیجه گیری

در مقاله حاضر، یک فرمولبندی المان مرزی سه بعدی برای حل مسائل مقادیر مرزی محیط‌های متخلخل اشباع ارائه گردید. معادله‌های انتگرال مرزی از کاربرد تکنیک باقیمانده وزنی بر کوپل معادله‌های دیفرانسیل دینامیکی محیط‌های متخلخل الاستیک اشباع به دست آمد. در ادامه برای تعیین توابع گرین یا حل‌های اساسی معادله‌های انتگرال مرزی از روش کوپرادز و سپس برای حل این معادله‌های انتگرالی که تنها در مرزهای سیستم فرموله شده‌اند از روش المان مرزی با المانبندی سیستم در محلهایی که دارای تغییرات خواص فیزیکی است، استفاده گردید. نهایتاً، به منظور نمایشی از مدل المان مرزی ارائه شده، توابع نرمی دینامیکی یک پی صلب مربعی بر محیط نیم - فضای متخلخل اشباع به دست آمد. از نتایج حاصل مشاهده گردید که با افزایش نفوذ‌پذیری محیط، تابع

تعريف تابع نرمی به صورت بی بعد زیر:

$$C_{VV}(a_0) = \mu b \frac{\Delta_3}{P_3} \quad (44)$$

که در آن تابع  $C_{VV}$  مشکل از دو جزء حقیقی و موهمی بوده و به صورت زیر تعریف می‌شود:

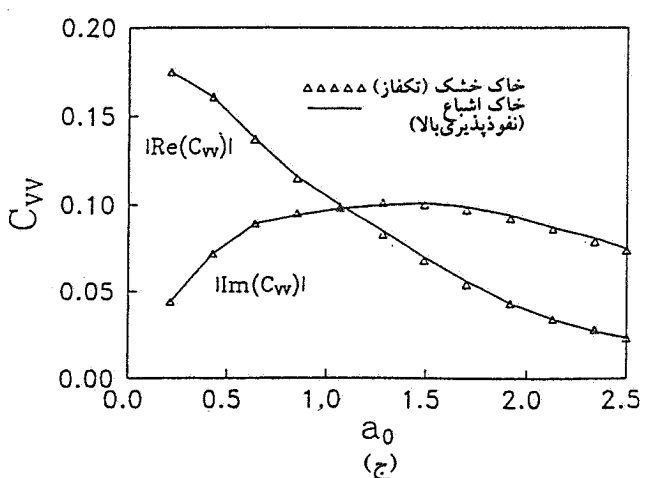
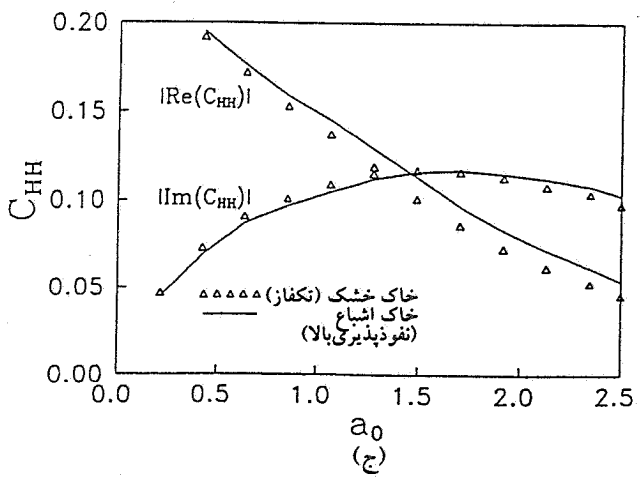
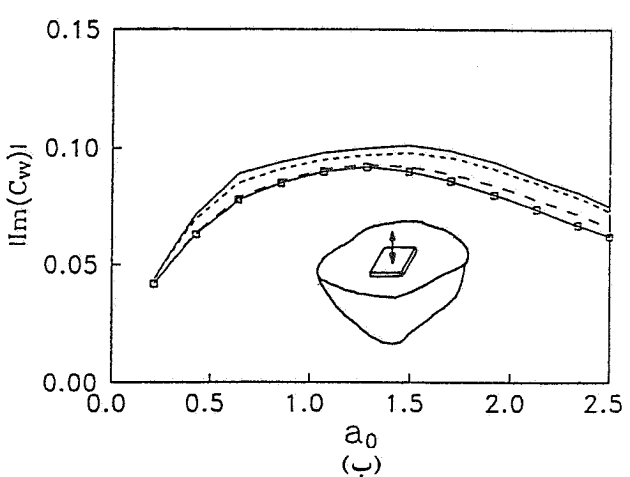
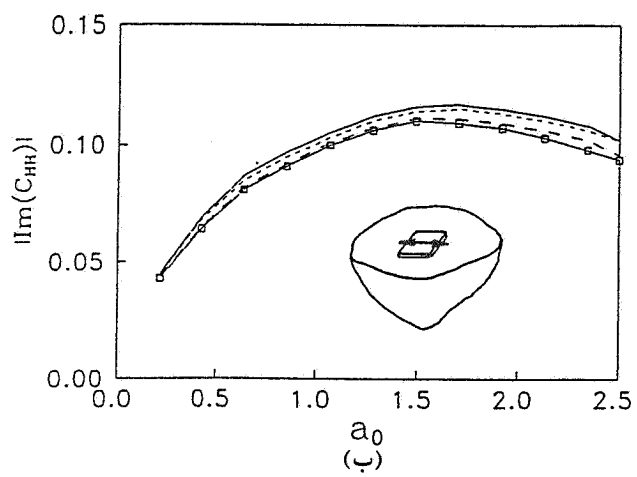
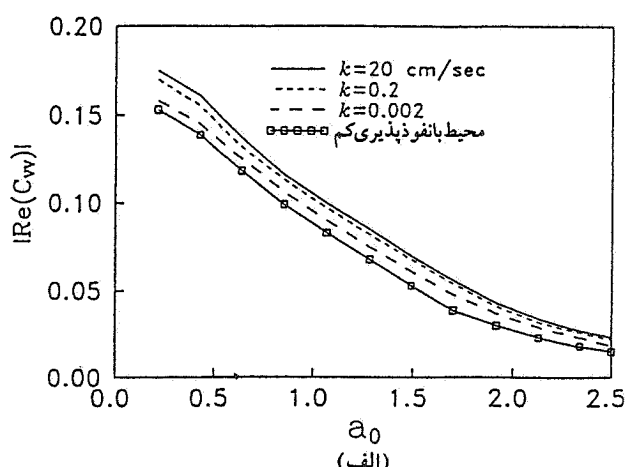
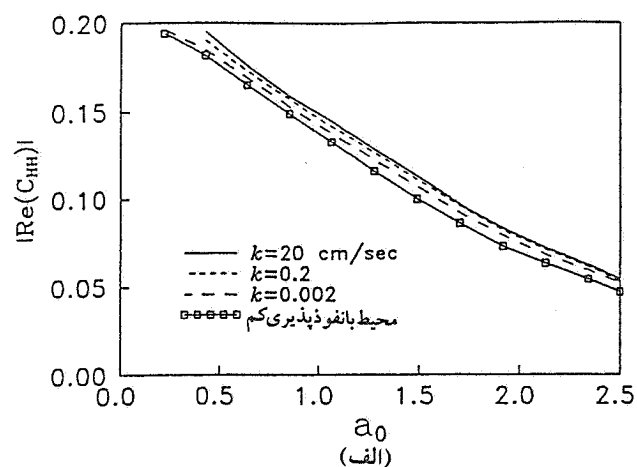
$$C_{VV}(a_0) = \text{Re}(C_{VV}) + i\text{Im}(C_{VV}) \quad (45)$$

در معادله‌های بالا  $\omega b/V_s = a_0$  فرکانس بدون بعد و  $V_s$  سرعت موج بر Shi و  $b/\rho_s/\mu$  است. در شکل‌های (۵ - الف) و (۵ - ب) تغییرات جزء حقیقی و موهمی نرمی قائم یک پی مربعی بر روی محیط خاکی اشباع برای نفوذ‌پذیری‌های ۰/۰۰۲، ۰/۰۲، ۰/۲۰ و ۰/۲۵ cm/sec رسم گردیده است، در این منحنیها همچنین نتایج حاصل از یک محیط زهکشی نشده تکفاز معادل (منحنی خط پر با نقاط مشخصه) نمایش داده شده است. این منحنی بر اساس رفتار دینامیکی یک محیط با نفوذ‌پذیری کم (کی نیا و بازرجی [۲۶]) که قابل انطباق بر یک محیط تکفاز با پارامترهای الاستیسیته معادل زیرند، به دست آمده است:

$$\lambda_u = \lambda + \alpha^2 Q$$

$$\nu_u = \frac{1}{2} \frac{\lambda + \alpha^2 Q}{\lambda + \mu + \alpha^2 Q} \quad (46)$$

بر اساس نتایج حاصل از منحنی‌های (۵ - الف) و (۵ - ب) با کاهش نفوذ‌پذیری محیط مقادیر جزء حقیقی و موهمی نرمی قائم دینامیکی کاهش می‌یابد. جالب توجه است که توابع نرمی محیط تکفاز و منحنی‌های مربوط به محیط با نفوذ‌پذیری کم دارای نتایج مشابه‌اند. در شکل (۵ - ج) نتایج حاصل از جزء‌های حقیقی و موهمی نرمی قائم دینامیکی محیط متخلخل اشباع با نفوذ‌پذیری بالا (محیط زهکشی شده) و محیط خشک الاستو - دینامیک تکفاز مقایسه گردیده است، از این نتایج دیده می‌شود در نفوذ‌پذیری بالا آب موجود در محیط نقشی در رفتار محیط خاکی نداشته و معادل یک محیط تکفاز خشک است. لازم به ذکر است که نتایج حاصل از منحنی‌های شکل (۵) در حالتهای تکفاز که برای مقایسه با



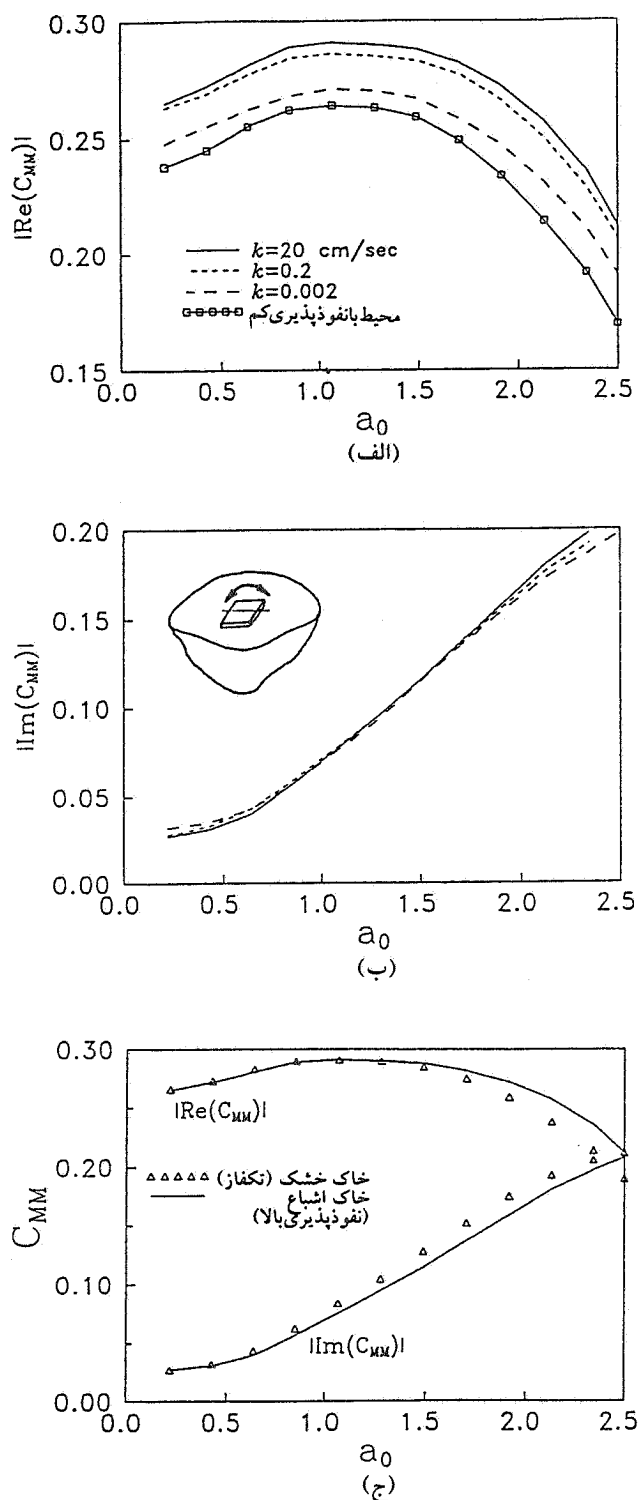
شکل ۶ - توابع نرمی افقی دینامیکی پی صلب مربعی: (الف) جزء حقیقی، (ب) جزء موهومی، (ج) مقایسه محیط اشباع زهکشی شده با نفوذپذیری بالا با یک محیط خشک تکفاز

شکل ۵ - توابع نرمی قائم دینامیکی پی صلب مربعی: (الف) جزء حقیقی، (ب) جزء موهومی، (ج) مقایسه محیط اشباع زهکشی شده با نفوذپذیری بالا با یک محیط خشک تکفاز

نرمی پی افزایش می‌یابد. همچنین رفتار یک محیط متخلخل اشباع زهکشی شده (با نفوذپذیری بالا) را می‌توان معادل با یک محیط دینامیکی تکفاز در نظر گرفت. به علاوه دیده شد که رفتار یک محیط اشباع نفوذ ناپذیر (یا نفوذ پذیری کم) قابل انطباق بر یک محیط تکفاز با پارامترهای الاستیسیته معادل است که توسط کینیا و بانرجی [۲۶] به دست آمدند.

#### قدرتانی

این مقاله حاصل طرح تحقیقاتی بوده که از محل اعتبارات شورای پژوهشی دانشگاه صنعتی اصفهان پشتیبانی گردیده است. در این رابطه نویسندهای از حمایت دانشگاه صنعتی اصفهان تشکر می‌نمایند.



شکل ۷ - توابع نرمی چرخشی دینامیکی پی صلب مربعی: (الف) جزء حقیقی، (ب) جزء موهومی، (ج) مقایسه محیط اشباع زهکشی شده با نفوذپذیری بالا با یک محیط خشک تکفاز

1. Kupradze, V.D., *Three Dimensional Problems of the Mathematical Theory of Thermoelasticity*, Amsterdam, North-Holland, 1979.
2. Biot, M.A., "Theory of Propagation of Elastic Waves in a Fluid-Saturated Porous Solid," *J. of Acous. Soc. of America*, Vol. 28, No. 2, pp. 168-191, 1956.
3. Biot, M.A., "Mechanics of Deformation and Acoustic Propagation in Porous Media," *J. Appl. Phys.*, Vol. 33, No. 4, pp. 1482-1498, 1962.
4. Truesdell, C., and Toupin, R.A., "The Classical Field Theories," in *Handbuch der Physik* (Edited by S. Flugge), Vol. 3, Berlin, Springer-Verlag, 1960.
5. Bowen, R.M., "Theory of Mixtures," in *Continuum Physics* (Edited by A.C. Eringen), New York: Academic Press, 1976.
6. Garg, S.K., "Wave Propagation Effect in a Fluid-Saturated Porous Solid," *J. Geophys. Res.*, Vol. 76, pp. 7947-7962, 1971.
7. Prevost, J.H., "Mechanics of Continuous Porous Media," *Int. J. Eng. Sci.*, Vol. 18, pp. 787-800, 1980.
8. Bowen, R.M., "Compressional Porous Media Models by Use of the Theory of Mixtures," *Int. J. Eng. Sci.*, Vol. 20, pp. 697-735, 1982.
9. Auriault, J.L., "Dynamic Behavior of a Porous Medium Saturated by a Newtonian Fluid," *Int. J. of Eng. Sci.*, Vol. 18, pp. 775-785, 1980.
10. Burridge , R., and Vargas, C.A., "The Fundamental Solution in Dynamic Poroelasticity," *Geophys. J. Roy. Astr. Soc.*, Vol. 58,pp. 61-90,1979.
11. Simon, B.R., Wu, J.S.S., Zienkiewicz, O.C., and Paul, D.K., "Evaluation of u-w and u-π Finite Element Methods for the Dynamic Response of Saturated Porous Media Using One-Dimensional Model," *Int. J. Numer. Anal. Meth. Geomech.*, Vol. 10, pp. 461-482, 1986.
12. Bonnet, G., "Basic Singular Solutions for a Poroelastic Medium in the Dynamic Range," *J. Acoust. Soc. Am.*, Vol. 82, pp. 1758-1762, 1987.
13. Boutin, C., Bonnet, G., and Bard, P.Y., "Green Functions and Associated Sources in Infinite and Stratified Poroelastic Media," *J. R. Astr. Soc.*, Vol. 90,pp. 521-550, 1987.
14. Kaynia, A.M., "Transient Green's Functions of Fluid-Saturated Porous Media," *Computers and Structures*, Vol. 44, pp. 19-27, 1992.
15. Zienkiewicz, O.C., and Shiomi, T., "Dynamic Behavior of Saturated Porous Media: the Generalized Biot Formulation and its Numerical Solution," *Int. J. Num. Anal. Meth. Geomech.*, Vol. 8, pp. 71-96, 1984.
16. Zienkiewicz, O. C., Chan, A.H., Pastor, M., and Shiomi, T., "Computational Approach to Soil Dynamics," in *Soil Dynamics and Liquefaction* (Edited by: A.S. Cakmak), *Developments in Geotechnical Engineering*, Vol. 42, Elsevier , 1987.
17. Bougacha, S. and Tassoulas, J.L., "Effects of Sedimentary Material on the Response of Concrete Gravity Dams," *Earthq. Eng. Str. Dyn.*, Vol. 20, pp. 849-858, 1991.
18. Hirai, H., "Analysis of Rayleigh Waves in Saturated Porous Elastic Media by Finite Element Method," *Soil Dyn. Earthq. Eng.*, Vol. 11, pp. 311-326, 1992.

- ۲۳- خوئی، امیر رضا و کی نیا، امیر مسعود، "کاربرد روش المان مرزی در حل دو بعدی مسائل دینامیکی محیط‌های متخلخل اشباع،" نشریه استقلال، شماره ۱۴، ص ۸۱-۱۱۶، ۱۳۷۲.
19. Cheng, A.H.D., Badmus, T., and Beskos, D.E., "Integral Equation for Dynamic Poroelasticity in Frequency Domain with BEM Solution," *J. Eng. Mech.*, 117, pp. 1136-1157, 1991.
  20. Kaynia, A.M., and Khoei, A.R., "Impedance Functions of Strip Foundations on Fluid-Saturated Porous Media," *Proc. Tenth World Congr. Earthquake Eng.*, Madrid, Spain, Vol. 3, pp. 1967-1972, 1992.
  21. Gazetas, G., and Petrakis, E., "Offshore Caissons on Porous Saturated Soil," *Proc. Int. Conf. Recent Adv. Geotech. Eng. Soil Dyn.*, University of Missouri, pp. 381-386, 1987.
  22. Halpern, M.C., and Christiano, P., "Response of Poroelastic Half Space to Steady-State Harmonic Surface Tractions," *Int. J. Num. Anal. Meth. Geomech.*, Vol. 10, pp. 609-632, 1986.
  - 23- خوئی، امیر رضا و کی نیا، امیر مسعود، "کاربرد روش المان مرزی در حل دو بعدی مسائل دینامیکی محیط‌های متخلخل اشباع،" نشریه استقلال، شماره ۱۴، ص ۸۱-۱۱۶، ۱۳۷۲.
  24. Suh, I.G., and Tosaka, N., "Application of the Boundary Element Method to Three Dimensional Linear Coupled Thermoelasticity Problems," *Proc. 38th Japan Cong. Applied Mech.*, pp. 169-175, 1988.
  25. Hammer, P.C., Marlowe, O.P., and Stroud, A.H., "Numerical Integration over Simplexes and Cones," *Math. Tables Aids Comp.*, 10, pp. 130-137, 1956.
  26. Kaynia, A.M., and Banerjee, P.K., "Fundamental Solutions of Biot's Equation of Dynamic Poroelasticity," *Int. J. of Eng. Science*, Vol. 31, No. 5, 1993.
  27. Ahmad, S., and Manolis, G.D., "Dynamic Analysis of 3-D Structures by a Transformed Boundary Element Method," *Compu., Mech.*, Vol. 2, pp. 185-196, 1987.